

# مدلسازی و شبیه سازی انواع خطاهای سیم بندی استاتور موتور القایی قفس سنجابی

**کریم عباس زاده**

دانشجوی دکتری مهندسی برق (قدرت) - دانشکده مهندسی برق - دانشگاه صنعتی امیرکبیر

**جعفرمیلی منفرد**

دانشیار دانشکده مهندسی برق - دانشگاه صنعتی امیرکبیر

**حمید واعظ**

کارشناس ارشد برق (قدرت) - دانشکده مهندسی برق - دانشگاه صنعتی امیرکبیر

(تاریخ دریافت ۲/۵/۸۰، تاریخ تصویب ۲/۷/۸۱)

## چکیده

در این مقاله مدلسازی موتور القایی قفس سنجابی تحت شرایط نامتفارنی سیم پیچی استاتور انجام گرفته است. این شرایط نامتفارنی بر اثر رخداد اتصال کوتاههایی در سیم پیچی استاتور بوجود می‌آیند. مدلسازی ماشین بر اساس روش تابع سیم پیچی اصلاح شده صورت گرفته است به نحوی که تمام هارمونیکهای فضایی (مکانی) موجود در ماشین در مدلسازی لحاظ شده است. خطاهای مدلسازی شده در این مقاله، خطای حلقه به حلقه، خطای کلاف و خطای فاز به فاز می‌باشد. در این مقاله یک موتور ۳hp ب نحو خاصی سیم بندی شد بطوریکه انواع خطاهای استاتور قابل پیاده شدن روی موتور بود. نتایج آزمایشات عملی انجام شده بر روی این موتور صحت روش مدلسازی و شبیه سازی و نتایج بدست آمده از مدل پیشنهادی را تأیید می‌نماید.

**واژه های کلیدی :** موتورهای القایی، خطاهای سیم بندی استاتور، تشخیص خط، مدلسازی موتورهای القایی

## مقدمه

فروپاشی عایقی حلقه به حلقه ناشی می‌شوند [۲-۵]. انواع خرابی‌های موتورهای القایی را می‌توان بصورت زیر تقسیم بندی کرد: خرابی یاتاقانها٪۵۰-٪۴۰، خرابی عایق استاتور٪۴۰-٪۳۰ و خرابی قفسه رتور٪۱۰-٪۵ [۶]. در صورتیکه از خرابی حلقه به حلقه در سیم‌بندی استاتور جلوگیری نشود منجر به خطای فاز به زمین یا فاز به فاز می‌گردد که این خطأ از جمله خطاهای شدید و مخرب در موتورهای القایی است.

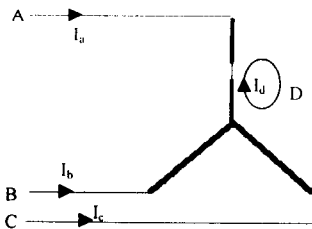
روشهای مختلفی جهت مدلسازی انواع خطاهای موتورهای القایی ارائه شده اند، از جمله این روشها روش تابع سیم پیچی است که در مقالات [۷][۸] نحوه آنالیز گذراشده این قبیل موتورها تحت خطا شرح داده شده است. از این نظریه در مدلسازی خطاهای حلقه به حلقه استاتور استفاده شده است. علاوه بر روشهای فوق، خطای استاتور موتور القایی را می‌توان به کمک بردارهای فضایی مورد مطالعه قرار داد [۹].

موتورهای الکتریکی نقش مهمی را در راهاندازی مؤثر ماشینها و پروسه‌های صنعتی ایفا می‌کنند، بخصوص موتورهای القایی قفسه سنجابی را بعنوان اسب کاری صنعت می‌شناسند. بنابراین تشخیص خطاهای این موتورها می‌تواند فواید اقتصادی فراوانی در پی داشته باشد، از جمله مدیریت کارخانه‌های صنعتی را آسان می‌کند، سطح اطمینان سیستم را بالا می‌برد، هزینه تعمیر و نگهداری پایین می‌آید و نسبت هزینه به سود بطور قابل توجهی کاهش می‌یابد.

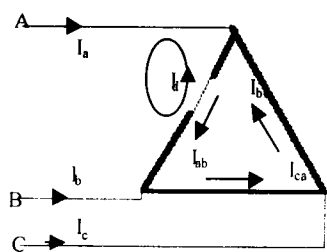
Soukup و Bonnett برای خرابی‌های استاتور موتورهای القایی سه فاز قفسه سنجابی پنج حالت خرابی مطرح کرده‌اند که عبارتند از حلقه به حلقه، کلاف به کلاف، قطع فاز، فاز به فاز و کلاف به زمین [۱]. در موتورهای قفسه سنجابی خرابی‌های سیم پیچی استاتور و یاتاقانها تقریباً ۷۵٪ کل خرابیها به حساب می‌آیند. و همچنین اکثر خرابی‌های سیم پیچی استاتور موتور از

اتصال کوتاه رخ می‌دهد، اولًا تعداد دور سیم‌پیچی فاز کاهش یافته و لذا MMF نسبت به حالت سالم کمتر خواهد شد، ثانیاً MMF ناشی از جریان اتصال کوتاه مخالف MMF ناشی از جریان سیم‌پیچی فاز اصلی می‌شود.

بعنوان یک نتیجه، MMF سیم‌پیچی فاز با بوجود آمدن اتصال کوتاه داخلی تغییر می‌کند و اندوکتانس متقابل بین آن فاز و همه مدارهای دیگر در ماشین تغییر می‌کند. بعلاوه یک فاز جدید که فاز اتصال کوتاه شده که از این به بعد فاز D نامیده می‌شود به مجموعه سیم‌بندی ماشین اضافه می‌شود، این فاز تماس رسانایی با فازهای دیگر نداشته ولی با مدارهای روی استاتور و روی رotor بطور متقابل کوپل می‌شود. فاز جدید D بصورت یک مدار مستقل با جریان خطای  $I_d$  عمل می‌کند. شکل‌های (۲) و (۳) این مدار مستقل را به ترتیب در اتصال ستاره و اتصال مثلث سیم‌پیچی استاتور نشان می‌دهند



شکل ۲: فرم سیم‌پیچی استاتور هنگامی که اتصال کوتاه داخلی اتفاق افتاده باشد. - اتصال ستاره .



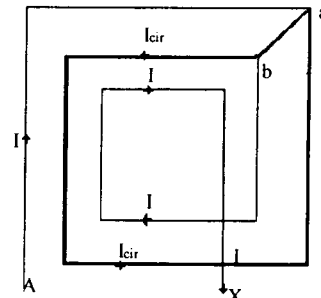
شکل ۳: فرم سیم‌پیچی استاتور هنگامی که اتصال کوتاه داخلی اتفاق افتاده باشد. - اتصال مثلث .

دسته معادلات زیر مدل ریاضی موتور القایی قفس سنجابی سه فاز را ارائه میدهد [۷].

هدف از ارائه این مقاله علاوه بر مدلسازی و شبیه سازی و نیز تحلیل خطاهای حلقه به حلقه، خطاهای کلاف به کلاف و فاز به فاز با استفاده از روش تابع سیم پیچی مورد تجزیه و تحلیل و سپس مدلسازی شده است، در آخر برای تایید روش مدلسازی نتایج عملی و آزمایشگاهی ارایه خواهد شد. نتایج بدست آمده از تئوری و عملی صحت روش مدلسازی را تایید می‌کند

### مدلسازی خطای حلقه به حلقه و خطای کلاف به کلاف

در ابتدای امر ساده‌ترین حالت که کلاف استاتور فقط یک دور دارد را در نظر می‌گیریم و چند نتیجه مهم از آن بدست می‌آوریم. شکل (۱) دیاگرام سیم‌بندی یک فاز با سه کلاف متحدم‌المرکز یک دوری را نشان می‌دهد. فرض می‌شود که اتصال کوتاه کلاف به کلاف بین نقاط a و b همانطور که در شکل نشان داده شده است اتفاق افتاده باشد.



شکل ۱: اتصال کوتاه کلاف به کلاف بین نقاط a و b .

واضح است که مسیر جریان گردشی ( $I_{Cir}$ ) همانطور که در شکل (۱) نشان داده شده است، بسته می‌شود. برای تحلیل می‌توان مسیر A-X را به دو مدار تقسیم کرد که در یکی از مدارهای جریان فاز (I) و در دیگری جریان  $I_{Cir}$  جاری است، این دو جریان یعنی جریان فاز و جریانی که در اتصال کوتاه جاری می‌شود، MMF‌های مخالف هم تولید می‌کنند. زیرا طبق قانون لنز جریان  $I_{Cir}$  در جهتی جاری می‌شود که با عامل بوجود آورندash که MMF اصلی ناشی از جریان فاز است مخالفت کند. لذا اتصال کوتاههای داخلی باعث کاهش MMF در نزدیکی خطاهای اتصال کوتاه خواهد شد. هنگامی که خطای

$$\begin{bmatrix} \lambda_a \\ \lambda_b \\ \lambda_c \\ \lambda_d \end{bmatrix} = \begin{bmatrix} L_{\alpha\alpha} & L_{ab} & L_{ac} & L_{ad} \\ L_{ba} & L_{bb} & L_{bc} & L_{bd} \\ L_{ca} & L_{cb} & L_{cc} & L_{cd} \\ L_{da} & L_{db} & L_{dc} & L_{dd} \end{bmatrix} I_s + \begin{bmatrix} L_{ar} \\ L_{br} \\ L_{cr} \\ L_{dr} \end{bmatrix} I_r \quad (3)$$

در رابطه (3) بردارهای  $L_{dr}$ ,  $L_{Cr}$ ,  $L_{br}$ ,  $L_{ar}$  هستند. حال معادلات ولتاژ استاتور بر حسب ولتاژهای خط به خط بجای ولتاژهای فاز نوشته می شود. البته  $V_d$  باستی ترم چهارم بردار ولتاژهای استاتور یعنی  $V_d$  بصورت "فاز" اتصال کوتاه شده باقی بماند و سایر ترمها را به فرم ولتاژهای خط درآورد. همچنین برای ساده کردن معادلات از این خاصیت که مجموع جریانهای خط (فاز) استاتور برابر صفر می باشد استفاده می گردد (در اتصال ستاره استاتور) و یکی از معادلات استاتور حذف می شود. بنابراین معادلات نهایی ولتاژ استاتور در حالت خطای حلقه به حلقه یا کلاف به کلاف بصورت روابط (4) و (5) خواهد بود.

$$\begin{bmatrix} V_{ab} \\ V_{bc} \\ 0 \end{bmatrix} = \begin{bmatrix} R_a & -R_b & 0 \\ R_c & R_b + R_c & 0 \\ 0 & 0 & R_d \end{bmatrix} \begin{bmatrix} I_a \\ I_b \\ I_d \end{bmatrix} + \begin{bmatrix} \frac{d\lambda_{ab}}{dt} \\ \frac{d\lambda_{bc}}{dt} \\ \frac{d\lambda_d}{dt} \end{bmatrix} \quad (4)$$

$$\begin{bmatrix} \lambda_{ab} \\ \lambda_{bc} \\ \lambda_d \end{bmatrix} = \begin{bmatrix} L_{aa} - L_{ba} - L_{ac} + L_{bc} & L_{ab} - L_{bb} - L_{ac} + L_{bc} & L_{ad} \\ L_{ba} - L_{ca} - L_{bc} + L_{cc} & L_{bb} - L_{cb} - L_{bc} + L_{cc} & L_{bd} \\ L_{da} - L_{dc} & L_{db} - L_{dc} & L_{ad} \end{bmatrix} \begin{bmatrix} I_a \\ I_b \\ I_d \end{bmatrix} + \begin{bmatrix} I_{ar} - I_{br} \\ I_{br} - I_{cr} I_r \\ L_{dr} \end{bmatrix} \quad (5)$$

### نتایج شبیه سازی

موتور مورد نظر جهت انجام شبیه سازی، یک موتور ۷/۵ اسب بخار، ۴۶۰ ولت، ۴ قطب و سه فاز اتصال ستاره می باشد که فرکانس کاری آن ۶۰ هرتز می باشد. استاتور این موتور دارای ۳۶ شیار و رotor آن دارای ۲۸ میله

$$V_s = R_s I_s + \frac{d\lambda_s}{dt}$$

$$V_r = R_r I_r + \frac{d\lambda_r}{dt}$$

$$\lambda_r = L_{sr}^T I_s + L_{rr} I_r$$

$$T_e = I_s^T \frac{\partial L_{sr}}{\partial \theta_{rm}} I_r$$

$$\omega_m = \frac{d\theta_{rm}}{dt}$$

$$\lambda_S = L_{ss} I_s + L_{sr} I_r$$

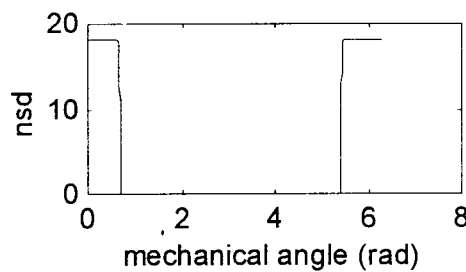
$$J \frac{d^2 \theta_{rm}}{dt^2} + T_L = T_e$$

(1)

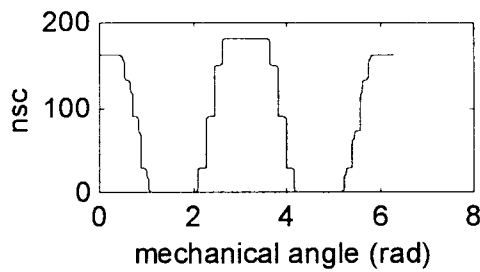
در این معادلات  $V_s$  بردار ولتاژهای سه فاز منبع تغذیه،  $V_r$  بردار ولتاژ رотор که همواره برابر صفر است،  $R_s$  یک ماتریس  $3 \times 3$  که ماتریس مقاومت استاتور نام دارد،  $R_r$  یک ماتریس  $(n+1) \times (n+1)$  که ماتریس مقاومت رotor نام دارد ( $n$  تعداد میله های رotor می باشد)،  $L_{ss}$ ،  $L_{sr}$  و  $L_{rr}$  ماتریس اندوکتانس استاتور نام دارد،  $\omega_m$  سرعت مکانیکی رotor و ماتریس اندوکتانس متقابل نام دارد،  $L_{rs}$  هم تراشهای  $L_{sr}$  می باشد.  $T_e$  گشتاور الکترومغناطیسی موتور و  $T_L$  گشتاور بار می باشد.  $\theta_{rm}$  موقعیت زاویه ای رotor بر حسب رادیان مکانیکی می باشد.

معادلات ولتاژ استاتور را در حالت خطای حلقه به حلقه و کلاف به کلاف به صورت زیر می توان نوشت:

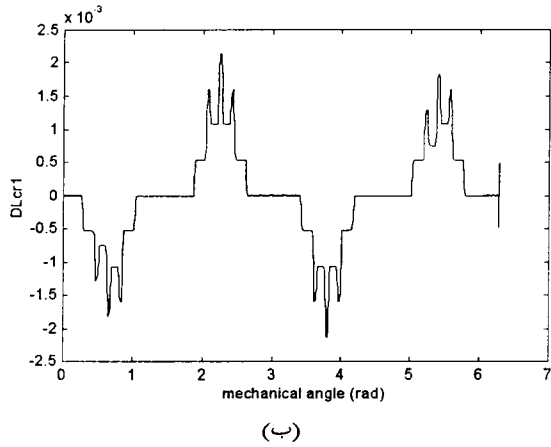
$$\begin{bmatrix} V_a \\ V_b \\ V_c \\ V_d \end{bmatrix} = \begin{bmatrix} R_a & 0 & 0 & 0 \\ 0 & R_b & 0 & 0 \\ 0 & 0 & R_c & 0 \\ 0 & 0 & 0 & R_d \end{bmatrix} \begin{bmatrix} I_a \\ I_b \\ I_c \\ I_d \end{bmatrix} + \begin{bmatrix} \frac{d\lambda_a}{dt} \\ \frac{d\lambda_b}{dt} \\ \frac{d\lambda_c}{dt} \\ \frac{d\lambda_d}{dt} \end{bmatrix} \quad (2)$$



شکل ۵ : تابع دور فاز D در حالت خطای حلقه به حلقه.



شکل ۶ : تابع دور فاز C در حالت خطای حلقه به حلقه.

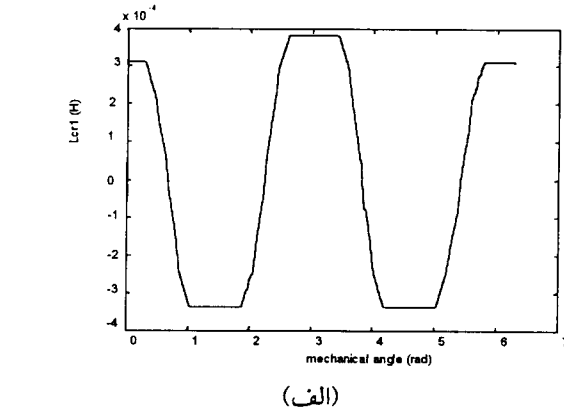


(ب)

شکل ۶ : الف - تابع اندوکتانس متقابل بین فاز C و حلقه اول رتور  
ب - تابع مشتق اندوکتانس متقابل بین فاز C و حلقه اول رتور نسبت به  $\theta_{rm}$ .

مشتق آن نسبت به زاویه را نشان می‌دهد. شکل (۷) اندوکتانس متقابل بین فاز D و حلقه اول رتور و مشتق آن نسبت به زاویه مکانیکی را نشان می‌دهد.

شکل (۸) نمودار گشتاور الکترومغناطیسی، سرعت و جریان فازهای استاتور را نشان می‌دهد. همچنین شکل (۹) نمودار جریان فاز اتصال کوتاه D و نمودار جریان فاز C را نشان می‌دهد. وقتی خطای حلقه به حلقه در فاز C رخ می‌دهد تابع دور فاز C تغییر می‌کند و نامتقارن می‌شود بدین سبب هارمونیکهای فضایی جدیدی بوجود می‌آید که باعث تغییر شکل نوسانات گشتاور همانگونه که در شکل (۸) دیده می‌شود، می‌گردد. این هارمونیکها به جریانهای استاتور نیز منتقل می‌شود و باعث تغییر شکل این جریانها نسبت به حالت سالم ماشین می‌شوند. همچنین دامنه جریانها علارغم کاهش MMF نسبت به حالت سالم ماشین افزایش می‌یابد. کاهش شار مغناطیس کننده ناشی از اثر برآیند شار فاز D (سیم پیچ اتصال کوتاه) و سیم بندی استاتور می‌باشد. همانطوریکه در شکل (۸) مشاهده



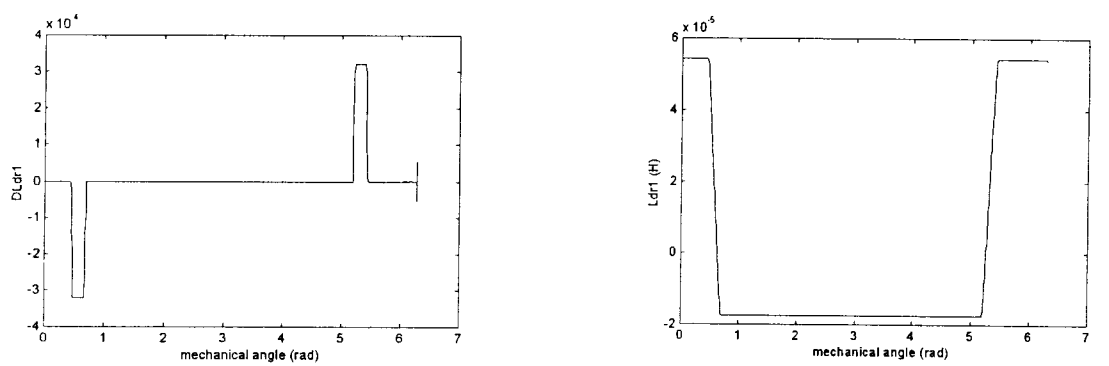
(الف)

می‌باشد. در سیم‌بندی این ماشین دو کلاف در هر فاز در هر زوج قطب در نظر گرفته شده است. یعنی چون ماشین چهار قطبی است در هر فاز چهار کلاف وجود داشته و هر کلاف هم N دوری می‌باشد. همچنین فرض شده که سیم‌بندی دو طبقه پیچیده شده است.

### شبیه سازی خطای اتصال کوتاه حلقه به حلقه در یکی از کلافهای فاز C

وقتی خطای حلقه به حلقه یا کلاف به کلاف در یکی از فازها رخ می‌دهد، توابع دور و سیم‌پیچی مربوط به آن فاز تغییر می‌کند اما توابع دور و سیم‌پیچی سایر مدارهای ماشین بدون تغییر باقی می‌مانند. بنابراین اندوکتانس خودی آن فاز و اندوکتانس‌های متقابل بین آن فاز و سایر مدارها تغییر می‌کنند. شکل (۴) و (۵) تابع دور فاز C سیم‌پیچی استاتور و تابع دور فاز D در حالت خطای حلقه به حلقه را بترتیب نشان می‌دهد.

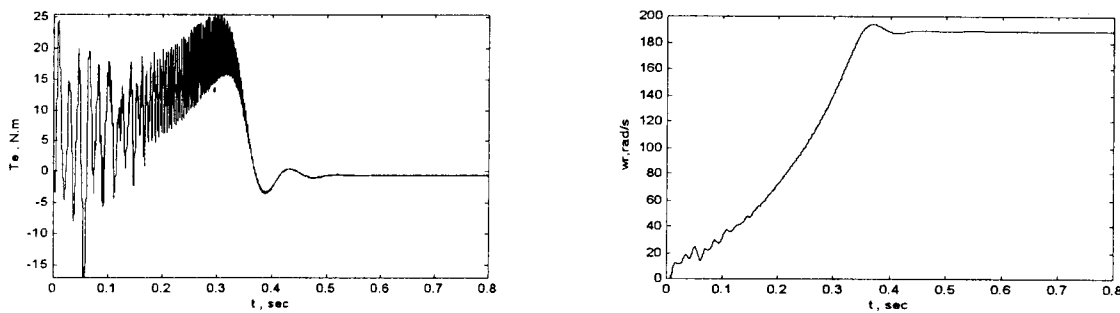
شکل (۶) اندوکتانس متقابل بین فاز C و حلقه اول رتور و



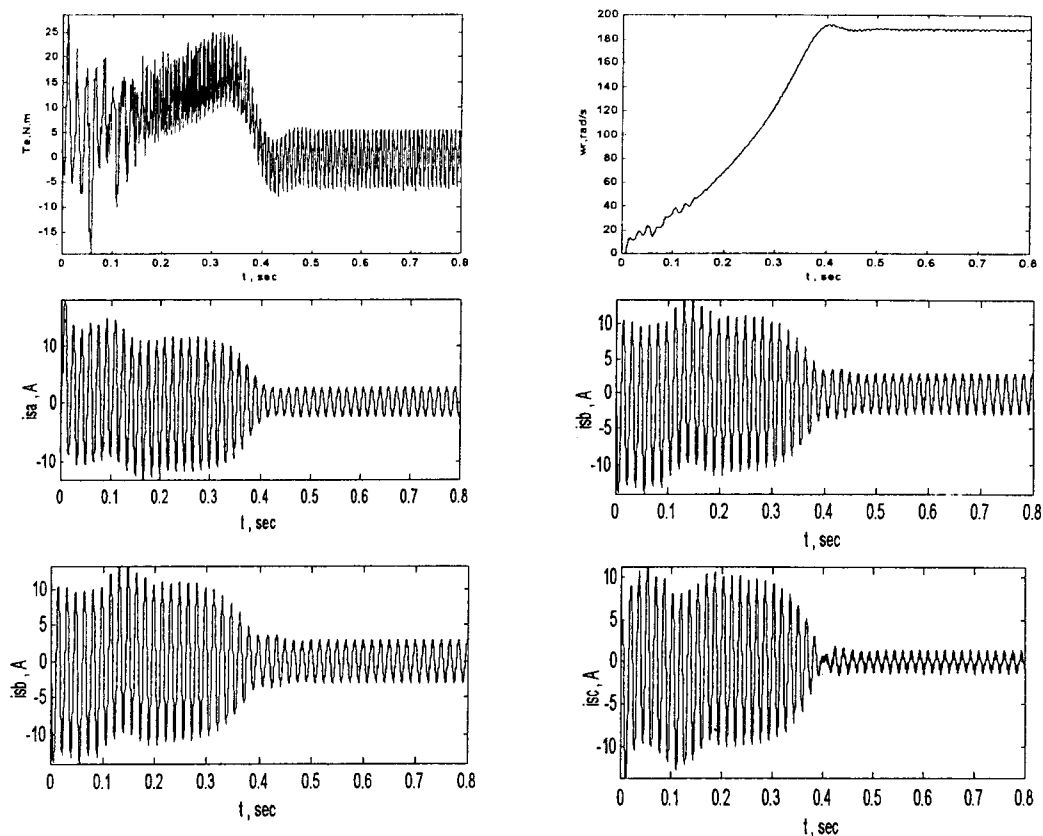
(ب)

(الف)

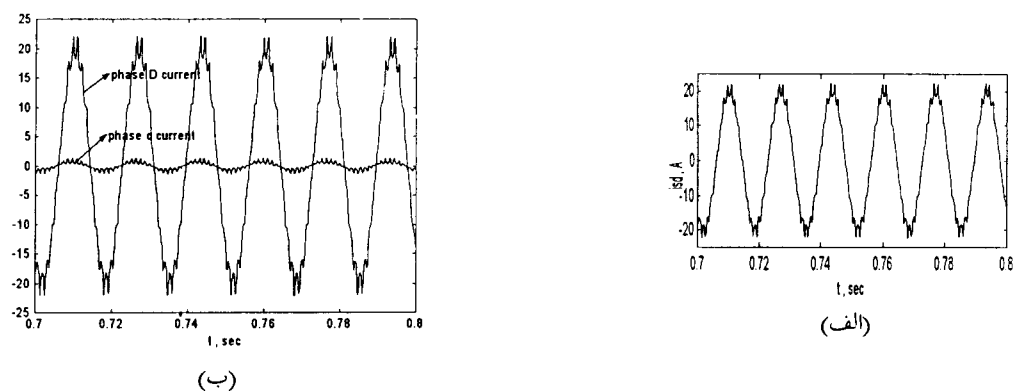
شکل ۷-الف- تابع اندوکتانس متقابل بین فاز D و حلقه اول رتور

ب- تابع مشتق اندوکتانس متقابل بین فاز D و حلقه اول رتور نسبت به  $\theta_{rm}$ 

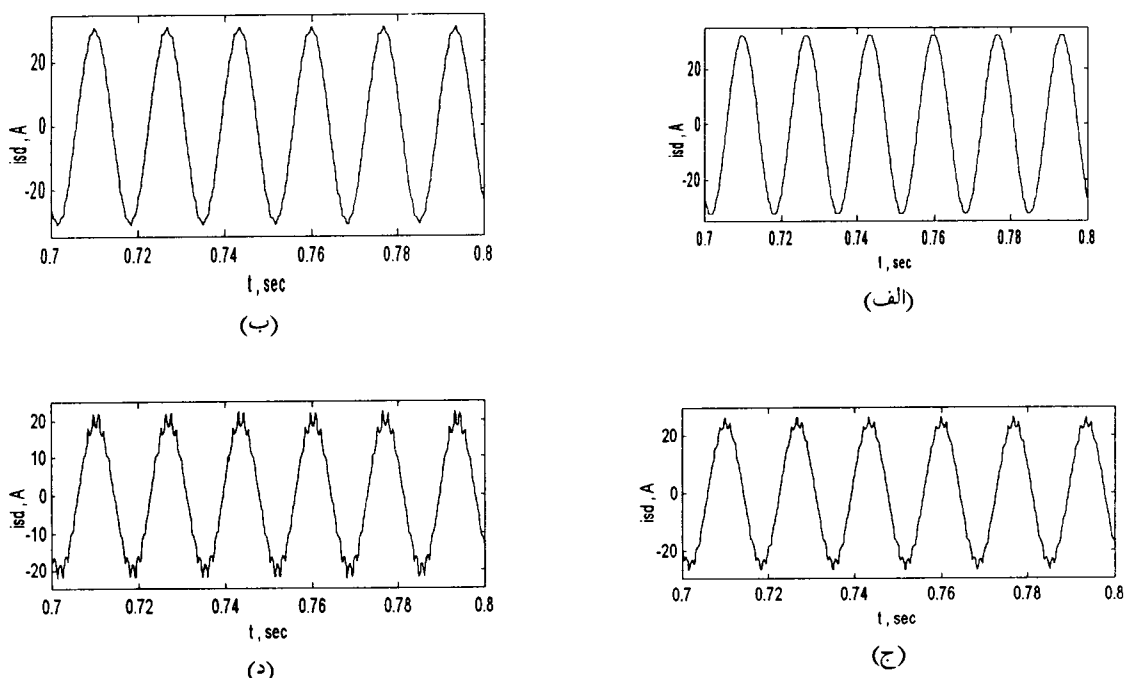
شکل ۸-الف- نمودار گشتاور الکترو مغناطیسی و سرعت موتور در حالت راه اندازی بدون بار



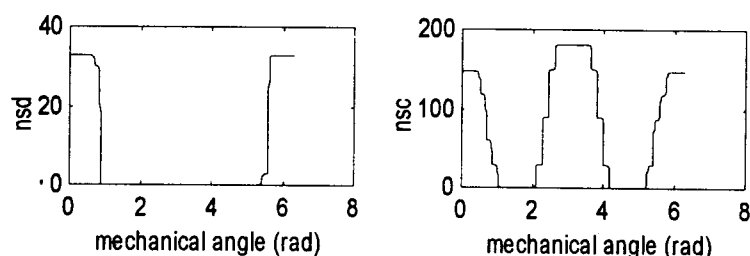
شکل ۸-ب- نمودار گشتاور الکترو مغناطیسی، سرعت و جریان فازهای استاتور در حالت خطای حلقه به حلقه



شکل ۹- الف - نمودار جریان فاز اتصال کوتاه D و فاز C

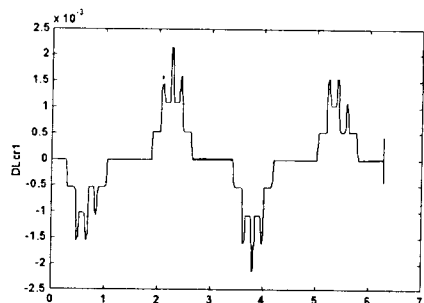


شکل ۱۰- نمودار جریان فاز اتصال کوتاه D در خطای حلقه به حلقه  
الف - ۲ دور اتصال کوتاه ، ب- ۳ دور اتصال کوتاه ، ج- ۹ دور اتصال کوتاه  
د- ۱۸ دور اتصال کوتاه

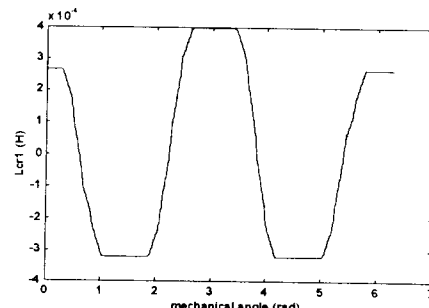


شکل ۱۲ : تابع دور فاز C در حالت خطای کلاف به کلاف.

شکل ۱۱ : تابع دور فاز C در حالت خطای کلاف به کلاف.

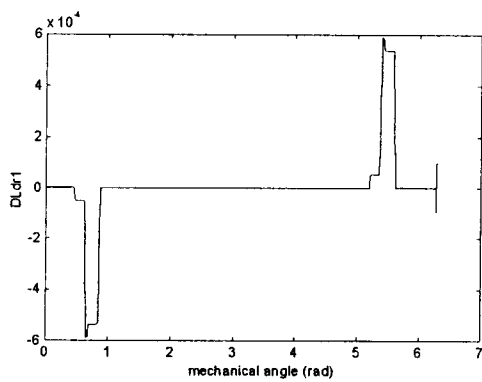


(ب)

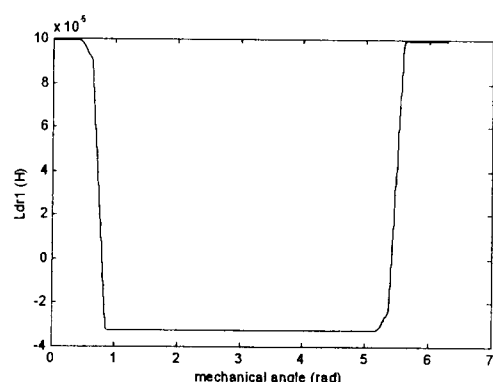


(الف)

شکل ۱۳ : الف - تابع اندوکتانس متقابل بین فاز C و حلقه اول رتور  
ب - تابع مشتق اندوکتانس متقابل بین فاز C و حلقه اول رتور نسبت به  $\theta_{rm}$

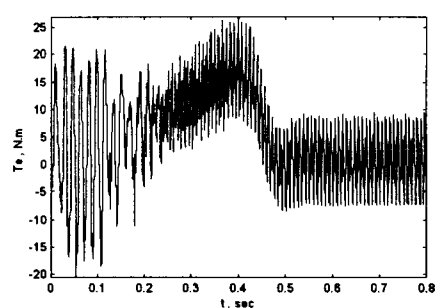
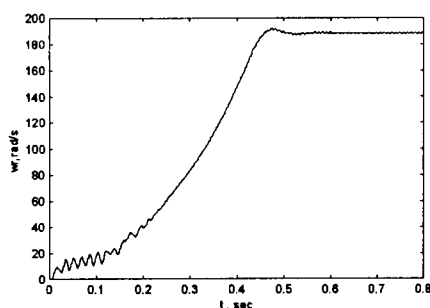


(ب)



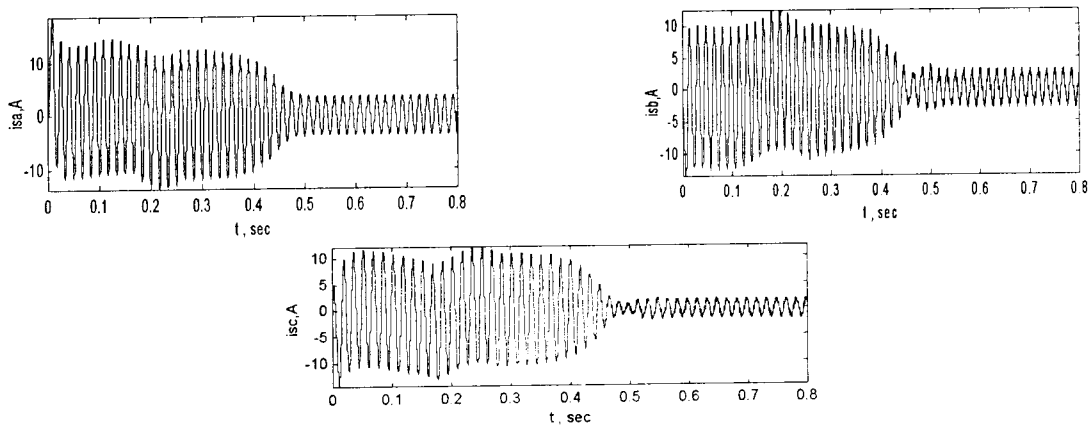
(الف)

شکل ۱۴ : الف - تابع اندوکتانس متقابل بین فاز D و حلقه اول رتور  
ب - تابع مشتق اندوکتانس متقابل بین فاز D و حلقه اول رتور نسبت به  $\theta_{rm}$

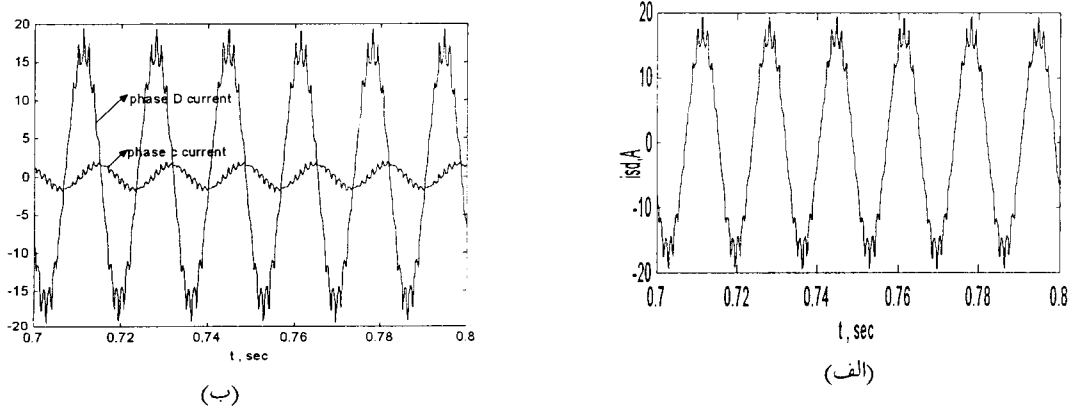


شکل ۱۵ : نمودار گشتاور الکترومغناطیسی و سرعت در حالت خطای کلاف به کلاف در راه اندازی بدون بار .

---

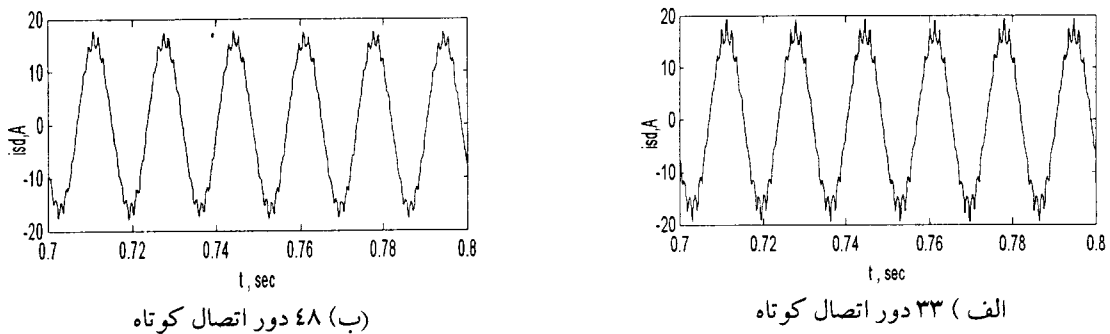


شکل ۱۶: نمودار جریان فازهای a ، b ، c استاتوردر حالت خطای کلاف به کلاف در راه اندازی بدون بار.



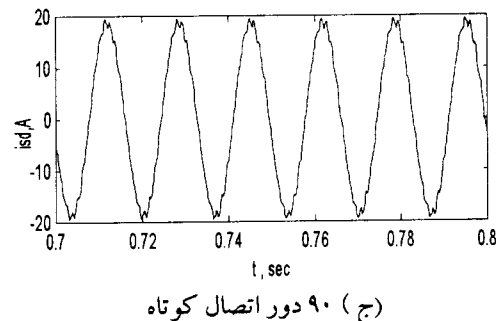
ب- نمودار جریان فاز C و فاز D

الف- نمودار جریان فاز اتصال کوتاه D



(ب) ۴۸ دور اتصال کوتاه

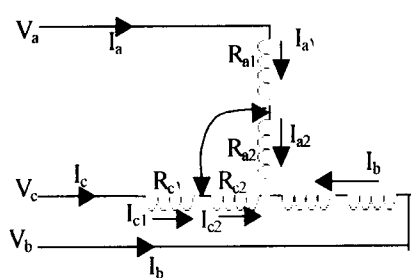
الف ) ۳۳ دور اتصال کوتاه



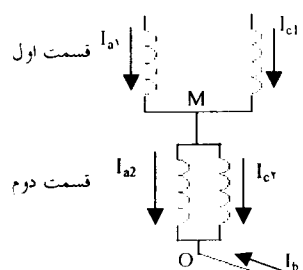
(ج ) ۹۰ دور اتصال کوتاه

شکل ۱۸: نمودار جریان فاز اتصال کوتاه D در خطای کلاف به کلاف .

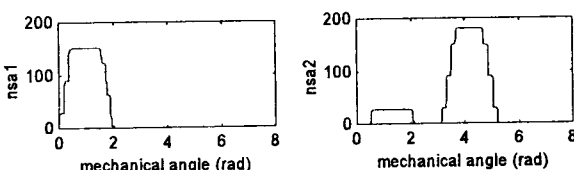
می گردد سیم بندی استاتور با وجود خطای فاز به فاز در شکل (۱۹) نشان داده شده است. شکل (۲۰) مدار معادل فازهای a و C بعد از خطا را نشان می دهد. شکل (۲۱) توابع دور قسمت های اول و دوم فاز a را نشان می دهد. شکل (۲۲) توابع دور قسمت های اول و دوم فاز C را نشان می دهد. شکل (۲۳) اندوکتانس های متقابل بین قسمت های اول و دوم فاز a را نشان می دهد. شکل (۲۴) اندوکتانس های متقابل بین قسمت های اول و دوم فاز C و حلقه اول رتور را نشان می دهد.



شکل ۱۹: سیم بندی استاتور با خطای فاز به فاز.



شکل ۲۰: مدار معادل فازهای a و C بعد از اتصال کوتاه شدن.



شکل ۲۱: توابع دور قسمت های اول و دوم فاز a استاتور.

می شود بهمین خاطر ماشین نسبت به حالت سالم خود دیرتر به وضعیت پایدار خود می رسد یا بعبارتی دیرتر راه اندازی می شود.

در صدھای مختلفی از خطای حلقه به حلقه شبیه سازی شد و نتیجه حاصل شده اینست که دامنه جریان فاز اتصال کوتاه D مستقل از تعداد دور اتصال کوتاه شده می باشد و تغییر چندانی نمی کند. این مطلب در شکل (۱۰) نشان داده شده است.

### شبیه سازی خطای کلاف به کلاف

برای شبیه سازی خطای کلاف به کلاف، مانند خطای حلقه به حلقه عمل می شود. بدین صورت که ابتدا با استی تابع دور فاز D و سپس تابع دور فاز معیوب را پیدا کرد. با ایجاد خطای کلاف به کلاف در فاز C شبیه سازی این نوع خطا انجام گرفته است. شکل (۱۱) و (۱۲) تابع دور فاز C، D، C را در حالت خطای کلاف به کلاف نشان می دهد. شکل (۱۳) و (۱۴) اندوکتانس متقابل بین فاز C, D و حلقه اول رتور و مشتق آن نسبت به زاویه مکانیکی را نشان می دهد.

شکل های (۱۵) و (۱۶) نتایج حاصل از شبیه سازی خطای کلاف به کلاف با ۳۳ دور اتصال کوتاه را در حالت راه اندازی بدون بار نشان می دهد. شکل (۱۷) نمودار جریان فاز اتصال کوتاه D و نمودار جریان فاز C و فاز D را نشان می دهد. با تغییر تعداد دور اتصال کوتاه شده، در این حالت نیز دامنه جریان فاز اتصال کوتاه D تغییر چندانی ندارد و این همانطوریکه قبله هم اشاره شد بدلیل ثابت بودن شار مغناطیس کننده در مدار مغناطیسی و در اثر مدار اتصال کوتاه فاز D می باشد. این موضوع در شکل (۱۸) نشان داده شده است.

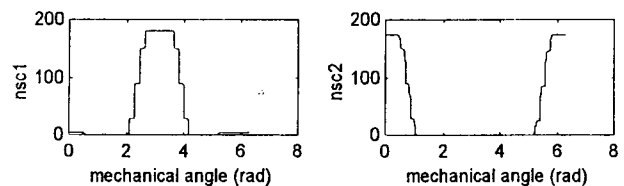
### مدلسازی خطای فاز به فاز

در این نوع خطا، فاز D وجود ندارد و در نتیجه بحثی که برای خطاهای قبلی در مورد فاز D داشتیم در اینجا نداریم. وقتی خطای فاز به فاز رخ میدهد فازهایی که بهم اتصال کوتاه شده اند هر کدام تبدیل به دو فاز می شوند یعنی در مجموع پنج جریان مجھول خواهیم داشت. اتصال کوتاه بین فاز a و فاز C در موتور مورد نظر شبیه سازی

شکل های (۲۵) و (۲۶) نتایج حاصل از شبیه سازی خطای فاز به فاز (اتصال کوتاه شدن فاز a به فاز C در شیار چهارم استاتور) در حالت راه اندازی بدون بار را نشان می دهد.

### نتایج عملی

موتور مورد نظر جهت انجام آزمایش یک موتور الایی قفسه سنجابی ۳ اسپ بخار، ۲۸۰ ولت، چهار قطب، سه فاز و اتصال ستاره می باشد، که فرکانس کاری آن ۵۰ هرتز است. استاتور این موتور دارای ۳۶ شیار و رتور آن دارای ۲۸ میله می باشد. سیم بندی این موتور به صورت یک طبقه است و برای هر فاز دو کلاف موجود است. کلافها متحدم مرکز هستند و هر کلاف نیز دارای ۱۳۲ دور نوشتگر می باشد. بنابراین در هر شیار ۴۴ دور قرار می گیرد. آزمایشات در حالت بی باری موتور صورت گرفته است. ابتدا در حالت سالم موتور مورد آزمایش قرار گرفت و سپس با ایجاد خرابی حلقه به حلقه در یکی از کلافهای یکی از فازهای استاتور آزمایشات اتصال کوتاه حلقه به حلقه در حالت بی باری روی موتور انجام گرفت و ولتاژ خط اعمالی به موتور، جریان فاز معیوب و جریان اتصال کوتاه اندازه گیری شد که نتایج در شکل های (۲۷) و (۲۸) آمده است. این نتایج نشان می دهد که جریان اتصال کوتاه در خلاف جهت جریان فاز معیوب می باشد و تقریباً ۶ برابر آن است و این مؤید مطالب گفته شده در زمینه خطای حلقه به حلقه می باشد.

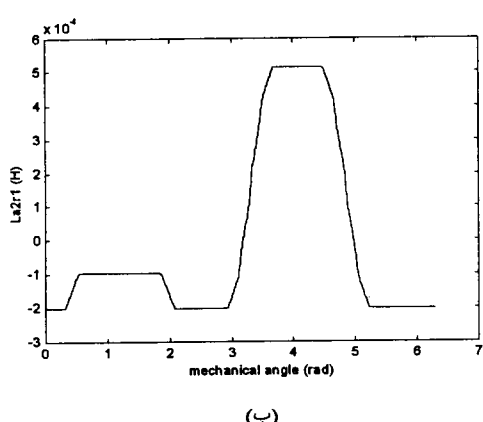


شکل ۲۲ : توابع دور قسمت های اول و دوم فاز C استاتور.

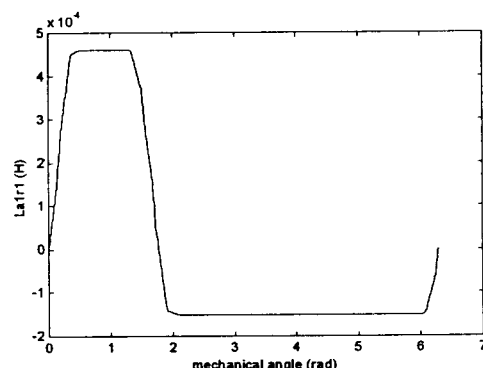
معادلات ولتاژ خط استاتور از روی شکل (۱۹) و شکل (۲۰) و با بکار بردن قوانین مداری کیرسف در نقاط M و O روابط (۶) و (۷) بدست می آید. از روی شکل (۱۹) با نوشتن KVL، معادلات ولتاژ استاتور به صورت زیر بدست می آیند.

$$\begin{aligned} \frac{d\lambda_{ab}}{dt} &= V_{ab} - r_{a1}i_{a1} - r_{a2}i_{a2} + r_b i_b \\ \frac{d\lambda_{c1a1}}{dt} &= V_{ca} + r_{a1}i_{a1} - r_{c1}i_{c1} \\ \frac{d\lambda_{c2a2}}{dt} &= r_{a2}i_{a2} - r_{c2}i_{c2} \end{aligned} \quad (8)$$

$$\begin{bmatrix} \lambda_{ab} \\ \lambda_{c1a1} \\ \lambda_{c2a2} \end{bmatrix} = L_{ss} \begin{bmatrix} i_{a1} \\ i_{a2} \\ i_b \end{bmatrix} + \begin{bmatrix} L_{a1r} + L_{a2r} - L_{br} \\ L_{c1r} - L_{a1r} \\ L_{c2r} - L_{a2r} \end{bmatrix} I_r \quad (9)$$



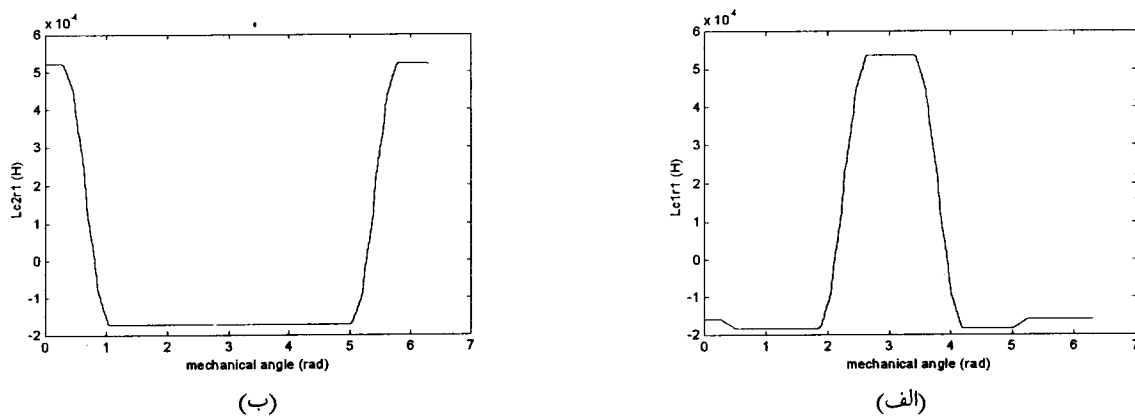
(ب)



(الف)

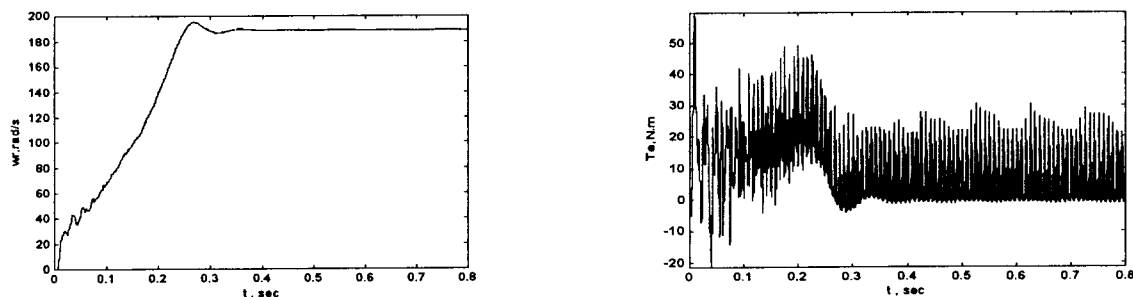
شکل ۲۳ : الف - تابع اندوکتانس متقابل بین قسمت اول فاز a و حلقه اول رتور

ب- تابع اندوکتانس متقابل بین قسمت دوم فاز a و حلقه اول رتور .

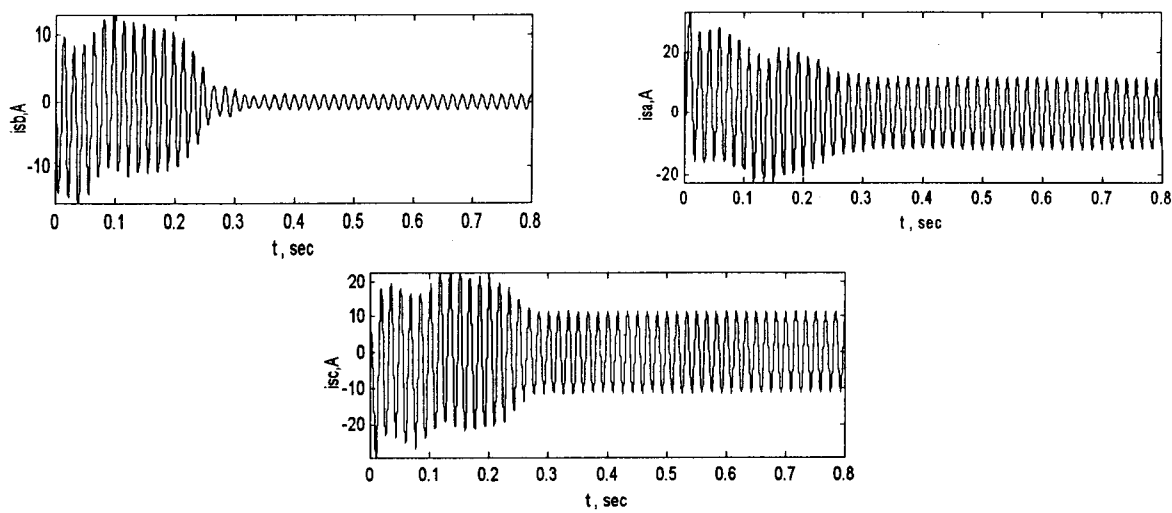


شکل ۲۴ : الف- تابع اندوکتانس متقابل بین قسمت اول فاز C و حلقه اول رتور

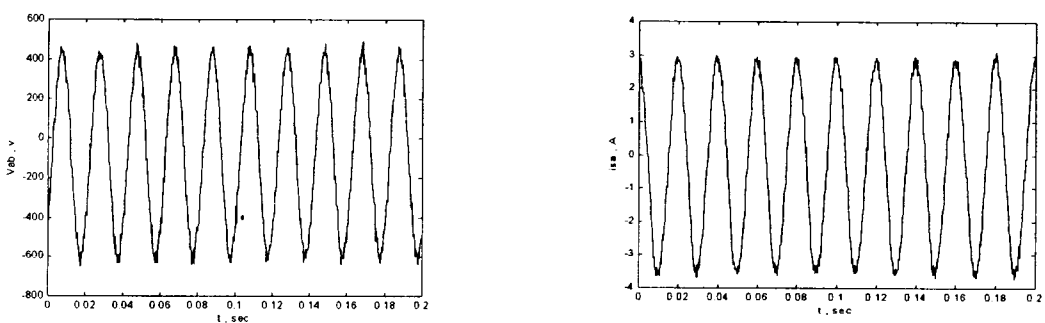
ب- تابع اندوکتانس متقابل بین قسمت دوم فاز C و حلقه اول رتور.



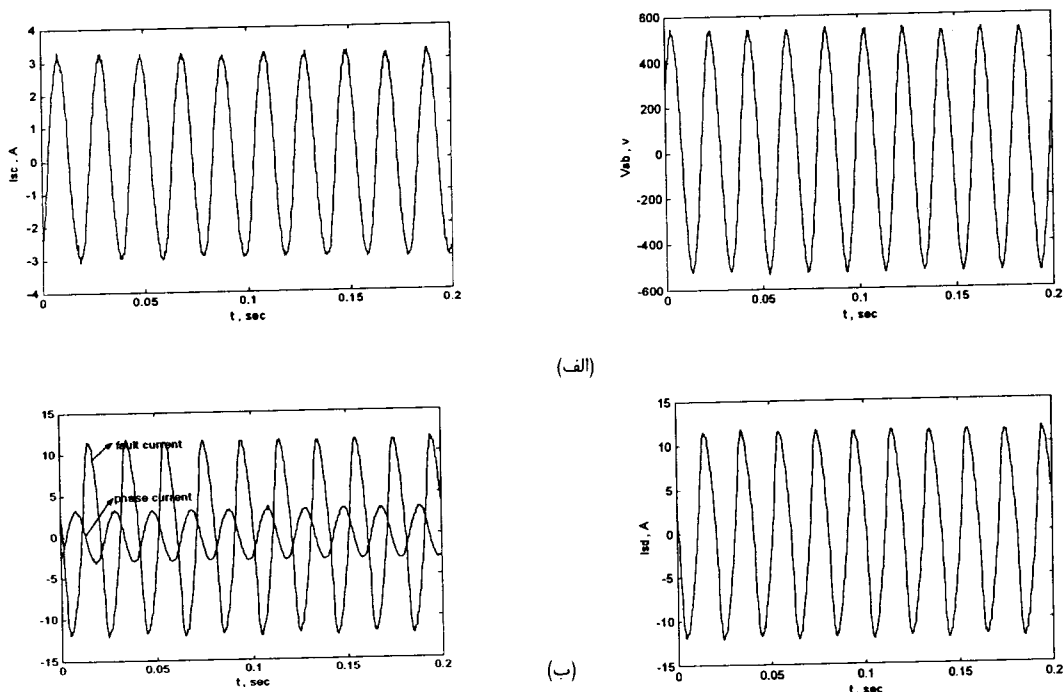
شکل ۲۵ : نمودار گشتاور موتور و سرعت در حالت خطای فاز به فاز در راه اندازی بدون بار .



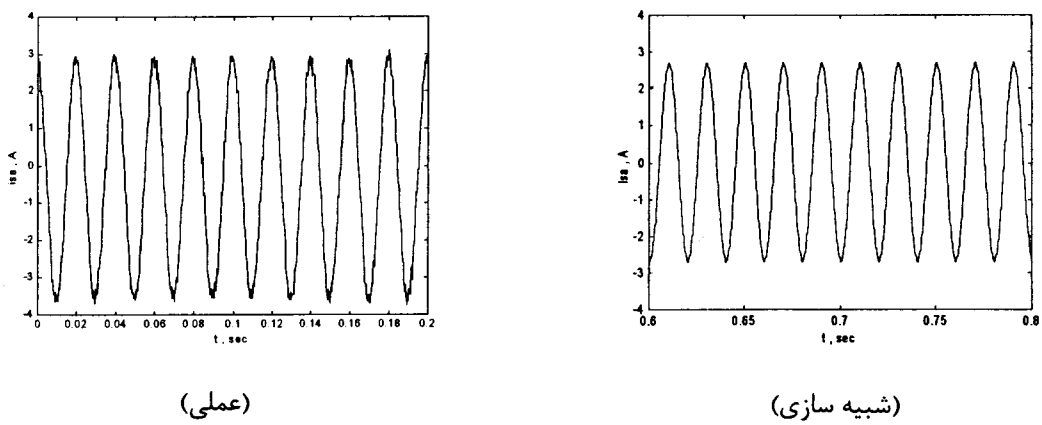
شکل ۲۶ : نمودار جریان فازهای a , b ، c استاتور در حالت خطای فاز به فاز در راه اندازی بدون بار.



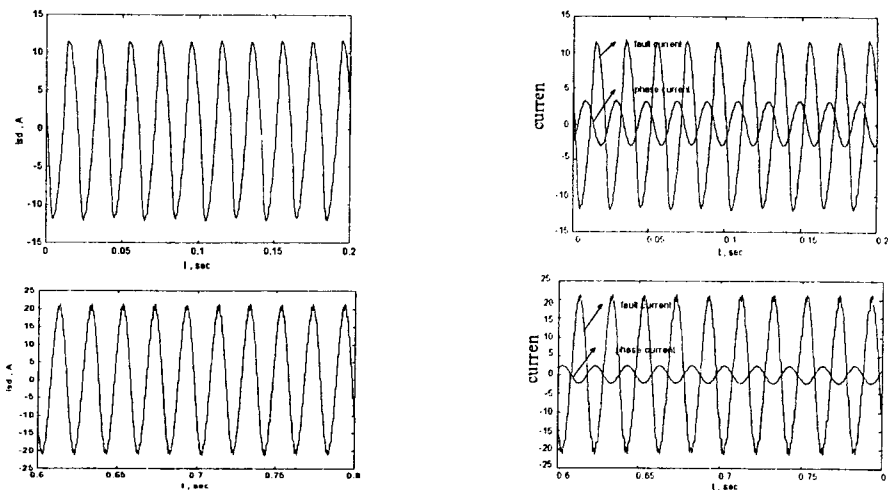
شکل ۲۷: ولتاژ اعمالی و جریان خط موتور در حالت سالم و بی باری.



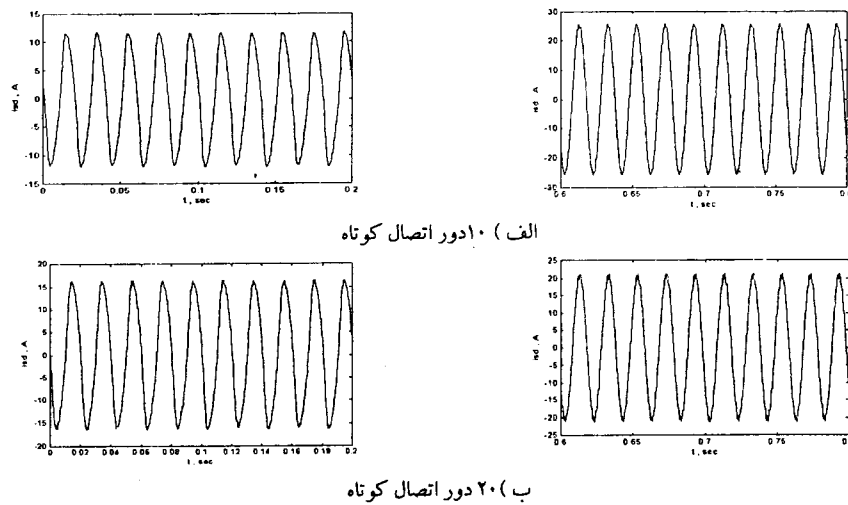
شکل ۲۸: الف - ولتاژ اعمالی به موتور و جریان فاز خطدار در حالت خطای حلقه به حلقه و بی باری  
ب - جریان اتصال کوتاه و جریان فاز خطدار بهمراه جریان اتصال کوتاه (۳۰ دور اتصال کوتاه).



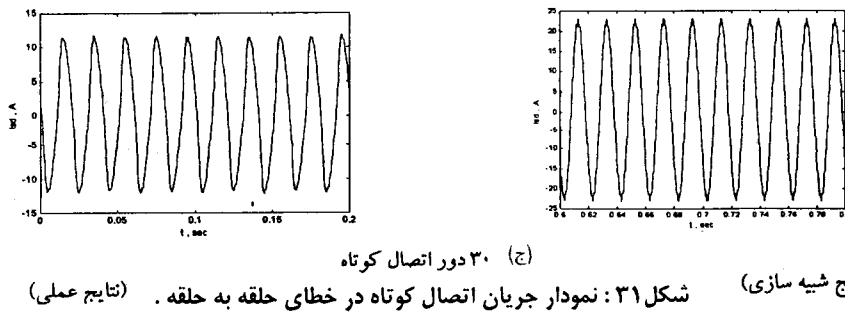
شکل ۲۹: جریان خط موتور در حالت سالم و بی باری.



شکل ۳۰: جریان اتصال کوتاه و جریان فاز خطا دار بهمراه جریان اتصال کوتاه (۳۰ دور).



شکل ۳۱- نمودار جریان اتصال کوتاه در خطای حلقه به حلقه (ادامه دارد)



شکل ۳۲: نمودار جریان اتصال کوتاه در خطای حلقه به حلقه. (نتایج عملی)

نکات بیان شده در بخش شبیه سازی را نیز تایید میکند.

### مقایسه نتایج عملی و شبیه سازی

موتور ۳ اسب بخار که تحت آزمایش قرار گرفت در حالت های سالم و خطای حلقه به حلقه شبیه سازی شده و نتایج شبیه سازی با نتایج تجربی در شکل (۲۹) تا (۳۰) آمده است. این نتایج علاوه بر تایید نتایج شبیه سازی،

### نتیجه گیری

در مدل سازی انواع خطاهای استاتور هارمونیک های فضایی در نظر گرفته می شود و طبق نتایج حاصل از

حالت پایدار خود می رسد ، این مطلب در شکل (۸) نشان داده شده است.

نتایج تجربی و شبیه سازی نشان می دهد که دامنه جریان فاز اتصال کوتاه D مستقل از تعداد دور اتصال کوتاه شده می باشد و همچنین جریان فاز اتصال کوتاه D در خلاف جهت جریان خطدار است.

شبیه سازیها مشاهده می شود که هارمونیکهای فضایی اثر مستقیمی روی نوسانات گشتاور دارد و نوسانات گشتاور هم روی نوسانات سرعت تأثیر می گذارد. همچنین در حالت خطای استاتور به علت اینکه MMF برآیند استاتور کاهش می باید، در نتیجه موتور جریان بیشتری را از منبع کشیده و علی رغم بالا بودن جریان استاتور MMF فاصله هوایی کاهش یافته در نتیجه موتور در راه اندازی دیرتر به

## مراجع

- 1 - Bonnett, A. H. and Soukup, G. C. (1992). "Cause and analysis of stator and rotor failures in three-Phase Squirrel-Cage Induction Motors." *Industry Applications, IEEE Transactions on*, Vol.28 No. 4 , PP. 921 – 937.
- 2 - IEEE committee Report, (1974). "Report on large motor reliability survey of industrial Plants." *Parts I, II and III, IEEE Transactions on Industry Applications*. Vol. IA – 10, No. 2.
- 3 - Eprireport EI-4286, (1985). *Improved motors for utility applications*. Vol. 1. Electric Power Research Institute, Palo Atto, CA, Project no. 1763-2.
- 4 - Donnel, P. O., coordinating author, (1985). "Report on large motor reliability survey of Industrial and commercial Applications." *Part I and II IEEE Transactions on Industry Applications*, IA - 21(4).
- 5 - Thorsen, O. and Dalva, M. (1997). "Condition monitoring methods, failure identification and analysis for high voltage motors in petrochemical industry." *Electrical Machines and Drives, 1997 Eighth International Conference on (Conf. Publ. No. 444)* , PP. 109 –113.
- 6 - Mccoy, R. M., Albrecht, P. F., Appiarious, J. C. and Owen, E. L. (1985). "Improved motors for utility applications: Volume 1: Industry Assessment Study Update and Analysis." *EPRI EL-4286 (Rp-1763-2)*.
- 7 - Toliyat, H. A. and Lipo, T. A. (1995). "Transient analysis of cage induction machines under stator, rotor bar and end ring faults." *Energy Conversion, IEEE Transaction on* , Vol. 10, No. 2, PP. 241 –247.
- 8 - Joksimovic, G. M. and Penman, J. (2000). "The detection of inter-turn short circuits in the stator windings of operating motors." *Industrial Electronics, IEEE Transactions on* , Vol. 47, No. 5, PP. 1078 –1084.
- 9 - Gentile, G., Ometto, A., Rotondale, N. and Tassoni, C. (1994). "AC machine performances in faulted operations electrotechnical conference 1994." *Proceedings, 7<sup>th</sup> Diterraneo*, Vol. 3, PP. 1283 –1286.

## پیوست: پارامترهای ماشین

7.5hp , 460v , 4-pole , 3phase	3hp , 380v , 4-pole , 3phase
JJ=.012;	JJ=.012;
L=102.4128*10^(-3);	L=90*10^(-3);
g=.456438*10^(-3);	g=.456438*10^(-3);
r=63.2968*10^(-3);	r=45*10^(-3);
N=90;	N=132;
rs=3.5332;	rs=3.1;
ls=.028;	ls=.028;
Rb=68.34e-6;	Rb=50.392e-6;
Lb=.28e-6;	Lb=.28e-6;
Re=1.56e-6;	Re=1.56e-6;
Le=.03e-6;	Le=.03e-6;